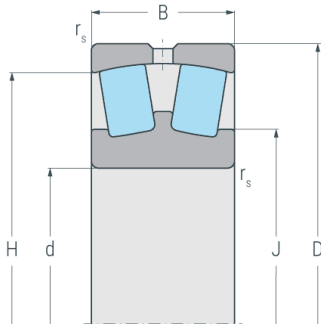
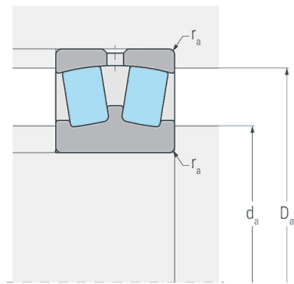


# 23134MB.W33

Pendelrollenlager, kegelige Bohrung, zweireihig, Umfangsnut mit drei Schmierbohrungen am Außenring, Messingkäfig, Ringe und Wälzkörper aus Qualitätswälzlagerstahl



MB.W33



## Abmessungen

<b>d</b>	(mm)	170	Bohrungsdurchmesser
<b>D</b>	(mm)	280	Außendurchmesser
<b>B</b>	(mm)	88	Breite
<b>r<sub>s min</sub></b>	(mm)	2.1	minimaler Kantenabstand
<b>H</b>	(mm)	244	Borddurchmesser Außenring
<b>J</b>	(mm)	204	Borddurchmesser Innenring

## Anschlussmaße

<b>d<sub>a min</sub></b>	(mm)	182	minimaler Durchmesser der Wellenschulter
<b>D<sub>a max</sub></b>	(mm)	268	maximaler Durchmesser der Gehäuseschulter
<b>r<sub>a max</sub></b>	(mm)	2.1	maximaler Rundungsradius

## Leistungsdaten

<b>C<sub>r</sub></b>	(kN)	905	dynamische Tragzahl, radial
<b>C<sub>0r</sub></b>	(kN)	1490	statische Tragzahl, radial
<b>C<sub>ur</sub></b>	(kN)	122	Ermüdungsgrenzbelastung, radial
<b>n<sub>G</sub></b>	(min <sup>-1</sup> )	2300	Grenzdrehzahl
<b>n<sub>B</sub></b>	(min <sup>-1</sup> )	1500	Bezugsdrehzahl

## Gewicht

<b>kg</b>		22.3	Gewicht
-----------	--	------	---------



# 23134MB.W33

Pendelrollenlager, kegelige Bohrung, zweireihig, Umfangsnut mit drei Schmierbohrungen am Außenring, Messingkäfig, Ringe und Wälzkörper aus Qualitätswälzlagerstahl

## Berechnungsfaktoren

<b>e</b>	0.29	Grenzwert für $F_a / F_r$
<b>Y<sub>1</sub></b>	2.3	dynamischer Axiallastfaktor für $F_a / F_r \leq e$
<b>Y<sub>2</sub></b>	3.4	dynamischer Axiallastfaktor für $F_a / F_r > e$
<b>Y<sub>0</sub></b>	2.2	statischer Axiallastfaktor